

黄檗断層付近の γ 線測定

見野和夫・竹内文朗

γ -RAY SURVEY AROUND THE OHBAKU FAULT

By Kazuo MINO and Fumiaki TAKEUCHI

Synopsis

A γ -ray survey was carried out using a handy type scintillation survey meter around the Ohbaku fault, where the under ground structure had been made clear by seismic exploration and gravity survey.

Six traversal lines were chosen to cross the fault. Most distinguishable peak of the γ -ray intensity appeared on the observation point M 59, midst of the main line. This peak seems to be caused by the high content of radon in the fault zone.

Maximum peak in each of the six traverses located almost in a straight line, from NW to SE, and this must be the strike of the Ohbaku fault.

1. 目的と方法

地震現象が、断層と深いかかわりを持つことが、とくに近年、明きらかにされてきた。これに伴い、地震波形や地殻変動のようすから、断層のパラメータを間接的に推定することが行なわれているが、一方、既存の断層周辺をいろいろな手段で直接的に探査することや、断層の動きそのものを測定することも行なわれている。筆者らは、断層の位置を決定したり、断層周辺の地下構造についての情報を得ることを目的として、 γ 線測定をとりあげることとし、手はじめに防災研究所の近くの黄檗断層で探査を行なった。HATUDA¹⁾は、断層の近くで、地中空気のラドン濃度が上昇する例を報告している。また、これの手軽な測定は、 γ 線用のシンチレーション・サーべー・メータを用いて行なうことができる²⁾。断層とその γ 線強度の関係についての、筆者らの理解は、模式的に Fig. 1 のように表わされる。すなわち、地中のラドンが上昇する際、断層の破碎帶にはよく付着するため、そこでのラドン濃度が上り、そのため地上で観測される γ 線の強度も断層周辺で高い値を示し、一般には、1, 2のピークが生ずるものである。このことを頭に描きつつ、次のように探査を進めた。

2. 測 定

(1) 測 定 点

場所は、京都盆地南部巨椋池干拓地の東方で、防災研究所の東方1kmのあたりである。(Fig. 2) 図中、●が測点で、全体で約200点、6測線である。ここ地下構

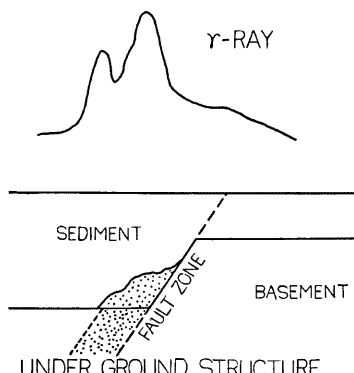


Fig. 1. Schematic diagram of the γ -ray intensity caused by the underground structure. High values of γ -ray intensity will be observed on the points above the fault zone.

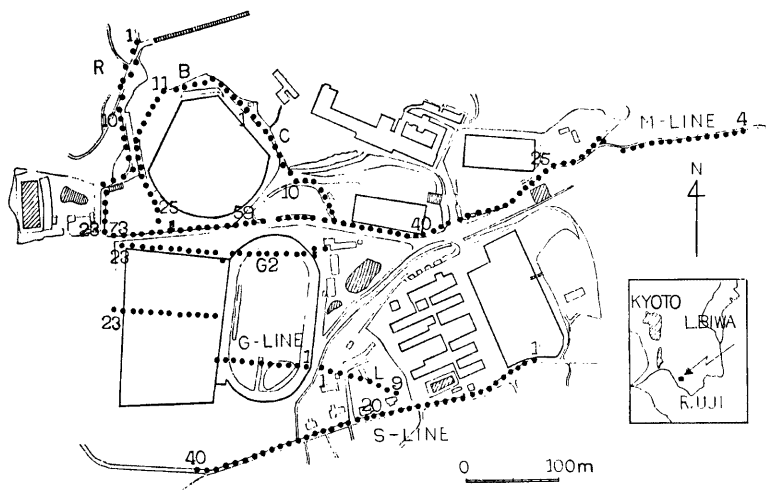


Fig. 2. Map around the observation points.

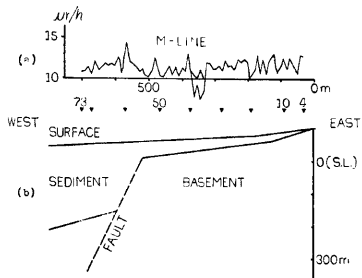


Fig. 3. (b) Cross section of the under ground structure near the Ohbaku fault. (after Kitsunezaki et al. and Murakami et al.)

(a) γ -ray intensity observed on the main line M.

Maximum peak appeared on the fault zone.

造は、地震探査³⁾および重力探査⁴⁾で明瞭にされている。(Fig. 3 (b)) 地形は、東方が山で西方には巨椋池干拓地があり、この間西へ徐々に低くなっている。東の山中には古生層の基盤が露頭しており、そこから西に向って、主として大阪層群からなる堆積層が、だんだん厚くなる。基盤は古生層であり、測点M50からM70の間に落差150m程度の黄葉断層がある。この断層と γ 線強度の関係を見ることが、本論文の主眼である。

(2) 測定方法

計器は、Aloka 製の Scintillation survey meter TCS 121 型を用いた。較正は、毎日の測定の出発時と終了時、防災研究所 D 326 号室で標準線源を用いて行った。測点はほとんどを、道路または道路わきの柔らかい所に 10m おきに選んだ。道に段差のあるような場合は、そのすぐ近傍の測点を、数 m の範囲で移動して、地形の影響を少

なくするよう配慮した。測器の head は、直径数 cm の円筒形であるので、測点にハンドオーガー等で、数 cm から 20cm 程度の孔を掘り、その中に head を挿入し、地表面の凹凸などに左右されないよう留意して測定した。この方法で、2, 3 名の人員で、日の短い11月でも 1 日に数十点の測定を行なうことができた。しかし、測定の後期には特に、作業能率をさらに上げるために、孔を掘らずに、地表面に head をつけるだけで測定した点も多い。測定値は、計器に付属のメーターから、15秒ごとに 12 回読みとり、最大、最小の 2 つを除く他の 10 回の読みとりの平均をもって、その点での生の値とした。これも測定後期には 10 秒ごとの読みとりに時間を短縮し、測定点数をかせいた。このようにして得られた値が、Table 1 の DATA (RAW) 欄の数値である。これに計器のドリフトを測点数で配分して補正したものを、(CORR) として記し

Table I. Data of the present survey. Averaged values of 10 data, which are selected from 12 readings at each observation point by excluding the maximum and the minimum ones, are written in the columns of DATA (RAW). (CORR) data are the values after correction of instrumental drift.

1976 11 11			1976 11 12			1976 11 13			1976 11 24			1976 11 29		
STATION	DATA(RAW)	(CORR)												
S 1	380,700	402,000	S 1	404,100	402,000	S 1	416,900	402,000	S 1	384,800	402,000	S 1	397,900	402,000
S 2	14,920	15,755	S 2	11,610	11,533	G 1	13,320	12,797	S 2	14,700	15,342	S 1	9,750	9,588
S 3	16,730	17,667	S 3	12,610	12,573	G 2	12,400	12,367	S 3	19,200	20,151	S 2	9,500	9,460
S 4	11,500	12,325	S 4	9,558	11,830	G 3	11,520	13,690	S 4	8,101	10,054	S 3	11,700	10,037
M 103	11,616	12,271	M 103	14,140	13,998	G 4	12,460	12,460	M 103	12,460	11,910	M 103	13,795	13,795
M 104	12,270	12,271	M 104	10,920	10,920	G 5	11,660	10,003	M 104	7,443	7,443	M 104	10,740	10,740
M 105	12,270	12,271	M 105	14,360	15,183	G 6	12,100	12,100	M 105	6,3	10,170	M 105	5,6	11,760
M 106	11,870	11,870	M 106	12,500	12,500	G 7	11,700	11,700	M 106	10,113	10,010	M 106	10,233	10,233
M 107	11,880	12,347	M 107	12,420	12,198	G 8	12,180	12,180	M 107	8,5	10,980	M 107	8,6	9,650
M 108	11,880	12,347	M 108	12,420	12,198	G 9	12,180	12,180	M 108	8,5	11,361	M 108	8,6	9,721
M 109	11,880	12,347	M 109	12,420	12,198	G 10	12,180	12,180	M 109	8,5	11,454	M 109	8,6	10,618
M 110	11,880	12,347	M 110	12,420	12,198	G 11	12,180	12,180	M 110	8,5	11,454	M 110	8,6	10,618
M 111	10,910	11,374	M 111	11,790	11,530	G 12	12,230	11,115	M 111	9,104	10,481	M 111	10,350	10,350
M 112	10,200	10,879	M 112	12,420	11,950	G 13	12,230	12,230	M 112	10,103	10,791	M 112	10,510	10,510
M 113	11,590	11,590	M 113	12,420	11,880	G 14	12,230	11,398	M 113	10,103	10,509	M 113	10,510	10,510
M 114	12,190	12,190	M 114	12,420	11,880	G 15	12,230	11,398	M 114	10,103	10,509	M 114	10,510	10,510
M 115	10,910	10,910	M 115	12,420	11,880	G 16	12,230	11,398	M 115	10,103	10,509	M 115	10,510	10,510
M 116	11,740	12,243	M 116	12,420	10,934	G 17	12,230	10,934	M 116	8,6	10,900	M 116	8,7	12,370
M 117	11,740	12,243	M 117	12,420	10,934	G 18	12,230	10,934	M 117	8,6	10,900	M 117	8,7	12,370
M 118	11,740	12,243	M 118	12,420	10,934	G 19	12,230	10,934	M 118	8,6	10,900	M 118	8,7	12,370
M 119	11,740	12,243	M 119	12,420	10,934	G 20	12,230	10,934	M 119	8,6	10,900	M 119	8,7	12,370
M 120	10,430	10,723	M 120	12,420	10,934	G 21	12,230	10,934	M 120	8,6	10,900	M 120	8,7	12,370
M 121	10,430	10,723	M 121	12,420	10,934	G 22	12,230	10,934	M 121	8,6	10,900	M 121	8,7	12,370
M 122	10,430	10,723	M 122	12,420	10,934	G 23	12,230	10,934	M 122	8,6	10,900	M 122	8,7	12,370
M 123	10,430	10,723	M 123	12,420	10,934	G 24	12,230	10,934	M 123	8,6	10,900	M 123	8,7	12,370
M 124	10,430	10,723	M 124	12,420	10,934	G 25	12,230	10,934	M 124	8,6	10,900	M 124	8,7	12,370
M 125	10,430	10,723	M 125	12,420	10,934	G 26	12,230	10,934	M 125	8,6	10,900	M 125	8,7	12,370
M 126	10,330	13,048	M 126	7,71	11,870	G 27	15,410	14,925	M 126	11,810	12,102	M 126	11,950	11,951
M 127	10,720	11,325	M 127	7,72	11,210	G 28	15,410	14,935	M 127	8,114	9,457	M 127	10,028	10,028
M 128	10,720	11,325	M 128	7,72	11,210	G 29	15,410	14,935	M 128	8,114	9,457	M 128	10,028	10,028
M 129	10,720	10,553	M 129	7,72	12,420	G 30	17,070	16,310	M 129	13,120	13,449	M 129	11,370	11,370
M 130	12,930	13,687	M 130	6,3	12,420	G 31	17,070	16,310	M 130	11,360	11,607	M 130	11,410	11,410
M 131	10,910	10,910	M 131	6,3	12,420	G 32	17,070	16,310	M 131	11,360	11,607	M 131	11,410	11,410
M 132	10,910	10,910	M 132	6,3	12,420	G 33	17,070	16,310	M 132	11,360	11,607	M 132	11,410	11,410
M 133	10,910	10,910	M 133	6,3	12,420	G 34	17,070	16,310	M 133	11,360	11,607	M 133	11,410	11,410
M 134	10,910	10,910	M 134	6,3	12,420	G 35	17,070	16,310	M 134	11,360	11,607	M 134	11,410	11,410
M 135	10,910	10,910	M 135	6,3	12,420	G 36	17,070	16,310	M 135	11,360	11,607	M 135	11,410	11,410
M 136	10,910	10,910	M 136	6,3	12,420	G 37	17,070	16,310	M 136	11,360	11,607	M 136	11,410	11,410
M 137	10,910	10,910	M 137	6,3	12,420	G 38	17,070	16,310	M 137	11,360	11,607	M 137	11,410	11,410
M 138	10,910	10,910	M 138	6,3	12,420	G 39	17,070	16,310	M 138	11,360	11,607	M 138	11,410	11,410
M 139	10,910	10,910	M 139	6,3	12,420	G 40	17,070	16,310	M 139	11,360	11,607	M 139	11,410	11,410
M 140	10,910	10,910	M 140	6,3	12,420	G 41	17,070	16,310	M 140	11,360	11,607	M 140	11,410	11,410
M 141	10,910	10,910	M 141	6,3	12,420	G 42	17,070	16,310	M 141	11,360	11,607	M 141	11,410	11,410
M 142	10,910	10,910	M 142	6,3	12,420	G 43	17,070	16,310	M 142	11,360	11,607	M 142	11,410	11,410
M 143	10,910	10,910	M 143	6,3	12,420	G 44	17,070	16,310	M 143	11,360	11,607	M 143	11,410	11,410
M 144	10,910	10,910	M 144	6,3	12,420	G 45	17,070	16,310	M 144	11,360	11,607	M 144	11,410	11,410
M 145	10,910	10,910	M 145	6,3	12,420	G 46	17,070	16,310	M 145	11,360	11,607	M 145	11,410	11,410
M 146	9,610	10,392	M 146	5	13,130	G 47	12,352	11,322	M 146	10,080	10,081	M 146	8,37	8,922
M 147	7,080	7,492	M 147	4	13,130	G 48	12,352	11,322	M 147	10,080	10,081	M 147	8,37	8,922
M 148	9,610	10,392	M 148	3	13,260	G 49	12,352	11,322	M 148	10,080	10,081	M 148	8,37	8,922
M 149	10,390	10,945	M 149	2	13,260	G 50	12,352	11,322	M 149	10,080	10,081	M 149	8,37	8,922
M 150	10,390	10,945	M 150	1	13,260	G 51	12,352	11,322	M 150	10,080	10,081	M 150	8,37	8,922
M 151	9,610	10,392	M 151	0	13,260	G 52	12,352	11,322	M 151	10,080	10,081	M 151	8,37	8,922
M 152	10,230	10,817	M 152	-1	13,260	G 53	12,090	11,763	M 152	10,080	10,081	M 152	10,223	10,223
M 153	10,230	10,817	M 153	-1	13,260	G 54	12,090	11,763	M 153	10,080	10,081	M 153	10,223	10,223
M 154	9,530	10,077	M 154	-2	13,260	G 55	12,090	11,763	M 154	10,080	10,081	M 154	9,530	10,077
M 155	10,750	11,153	M 155	-3	13,260	G 56	12,090	11,763	M 155	10,080	10,081	M 155	10,750	11,153
M 156	10,750	11,153	M 156	-4	13,260	G 57	12,090	11,763	M 156	10,080	10,081	M 156	10,750	11,153
M 157	10,750	11,153	M 157	-5	13,260	G 58	12,090	11,763	M 157	10,080	10,081	M 157	10,750	11,153
M 158	10,750	11,153	M 158	-6	13,260	G 59	12,090	11,763	M 158	10,080	10,081	M 158	10,750	11,153
M 159	10,750	11,153	M 159	-7	13,260	G 60	12,090	11,763	M 159	10,080	10,081	M 159	10,750	11,153
M 160	11,040	11,619	M 160	-8	13,260	G 61	12,090	11,763	M 160	10,080	10,081	M 160	11,040	11,619
M 161	11,750	12,343	M 161	-9	13,260	G 62	12,090	11,763	M 161	10,080	10,081	M 161	11,750	12,343
M 162	11,750	12,343	M 162	-10	13,260	G 63	12,090	11,763	M 162	10,080	10,081	M 162	11,750	12,343
M 163	9,610	10,392	M 163	-11	13,260	G 64	12,090	11,763	M 163	10,080	10,081	M 163	9,610	10,392
M 164	10,230	10,817	M 164	-12	13,260	G 65	12,090	11,763	M 164	10,080	10,081	M 164	10,230	10,817
M 165	10,230	10,817	M 165	-13	13,260	G 66	12,090	11,763	M 165	10,080	10,081	M 165	10,230	10,817
M 166	10,230	10,817	M 166	-14	13,260	G 67	12,090	11,763	M 166	10,080	10,081	M 166	10,230	10,817
M 167	10,230	10,817	M 167	-15	13,260	G 68	12,090	11,763	M 167	10,080	10,081	M 167	10,230	10,817
M 168	10,230	10,817	M 168	-16	13,260	G 69	12,090	11,763	M 168	10,080	10,081	M 168	10,230	10,817
M 169	10,230	10,817	M 169	-17	13,260	G 70	12,090	11,763	M 169	10,080	10,081	M 169	10,230	10,817
M 170	10,230	10,817	M 170	-18	13,260	G 71	12,090	11,763	M 170	10,080	10,081	M 170	10,230	10,817
M 171	10,230	10,817	M 171	-19	13,260	G 72	12,090	11,763	M 171	10,080	10,081	M 171	10,230	10,817
M 172	10,230	10,817	M 172	-20	13,260	G 73	12,090	11,763	M 172	10,080	10,081	M 172	10,230	10,817
M 173	10,230	10,817	M 173	-21	13,260	G 74	12,090	11,763	M 173					

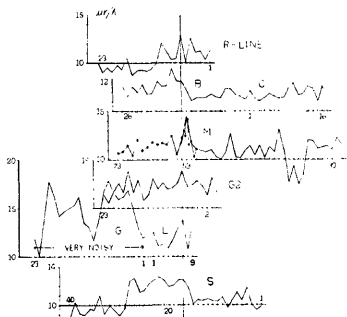


Fig. 4. γ -ray intensity along 6 traversal lines. Axes of the 6 graphs are moved horizontally as the peaks to come on one vertical line. And this line corresponds to the strike of the Ohbaku fault.

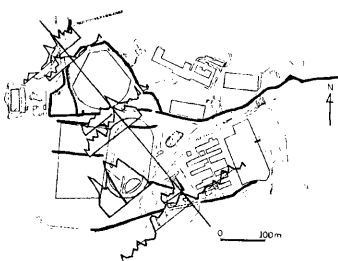


Fig. 5. Projection of γ -ray intensity graphs to the lines perpendicular to the strike of the fault (straight line from NW to SE). Solid lines are the routes of the survey.

が得られたので、M59の方は、局所的なノイズとは考えられない。測点M4からM50付近までの値は、変動しながらも、全体としては、徐々に減少傾向をたどる。これはちょうど、この間の堆積層の厚さの増加具合と対応しているように思われる。以上、測線Mでは、地下構造とくに断層の位置と γ 線強度に関連があることがわかったので、次に断層の走向を知るため、Mに平行な2本の測線をとって測定をした。G および G 2 測線がそれである。当初、断層の走向をほぼ南北方向と考えていたので、G 10, G 2-10あたりに、M59に匹敵するピークが生じることを期待したが、結果は Fig. 4 のようになり、この予想を裏切った。しかも、G 測線は、京大グランド内の花崗岩のまき石の上にとられたので、全体に高い値を示し、見かけ上の2つのピークが現われてしまった。これはまき石のために生じた人工的ノイズと考え、G 測線の測定値は、以後無視して考えた。走向の決定には、上述の測定では不十分と考え、B, C の測線を設け、M50からM68までとあわせて、一本のループを描くようにして測定してみたところ、B 17に大きなピークが現われ、それ以外は概して低い値であった。このB 17と主測線上のピークM59を地図上で結ぶ直線は、G 2-7 や L 7 などの大きな値の近くを通るので、さらに R と S の2測線を追加して、この方向の確認をもくろんだ。これらの測線上でも上述の線上に大きな値が見出されたので、この方向（ほぼ北西から南東方向）を、最終的に断層の走向と考えることにした。測定値の主要部分を、この走向方向に垂直な面に投影したのが、Fig. 5 である。図ではピークの結び方に若干の幅が許されるものの、大勢として、この方向を否定することは困難である。

4.まとめと今後の問題

簡便な方法で断層の位置や走向を知ることを一つの目的として、あらかじめ断層の位置が他の探査方法で明確にされている黄鱗断層付近で、 γ 線の測定を実施した。その結果、主測線上での最大のピークは、断層付近の地下構造をよく反映しているらしいことがわかり、また、このピークと、他の数測線上でのピークが、ほとんど一直線上にのり、この直線が断層の走向をあたえることが、近くの地形の等高線の向きとの一致などから推察できた。探査は、ごく少人数で短期間に完了し、得られたデータも、わずかな補正を必要としただけであり、この探査方法は、極めて簡便なものであるとの印象を強くした。しかし一方、各測線でピークの形状が必ずしも一定しなかったことや、測定能率を重視するあまり、簡便な測定に偏し、結果的には、測点近傍の地理的条件などのノイズを除き切れなかったのではないかと思われるなど、方法についての

問題も残された。また、もし他に有力な探査の行なわれていないような地域で、今回のようなγ線測定で得られたピークだけから、断層の位置や走向を推定するすれば、それはやや危険を伴うと思われる。なぜなら、測線を張れば、全点の値が全く等しくない限り、そこには必ず見かけ上のピークが現われると思われるからである。現われたピークが、物理的な意味を持っているかどうかを判定するには、例えば今回のような既知の断層周辺でのデータを蓄積し、断層とγ線強度の関係を、一般的にかつ定量的に把握しておくことが必要であると思われる。その際、断層の規模、様式、岩質、年代などのパラメーターが関与すると思われる所以、今後それらについて検討してゆきたい。

おわりに、この測定を指導して下さった、京大教養部助教授西村進博士に感謝します。また、鳥取大学教養部助教授西田良平、京大防災研究所技官小泉誠の両氏には寒い中測定を手伝って頂いた。お礼申し上げます。補正計算とTableの作成には、防災科学資料センターのFACOM 230-25/35を使用しました。

参考文献

- 1) Hatuda, Z.: Radioactive Method for Geological Exploration, Mem. Col. Sci. Univ. Kyoto, Ser. B, Vol. 21, No. 2, 1954, pp.231-271.
- 2) 初田萬一郎：三方五湖付近温泉探査報告, 1965, pp.1-16
- 3) 狐崎長頼, 後藤典俊, 岩崎好規：地震探査からみた京都盆地南部の地下構造とこれに関連した地震工学上の若干の問題, 京都大学防災研究所年報, 第14号A, 1971, pp.203-215.
- 4) 村上寛史, 里村幹夫, 竹内文朗, 後藤典俊, 吉川賢一：京都盆地南部における重力探査, 物理探鉱, 第28巻, 第6号, 1975, pp.268-276.